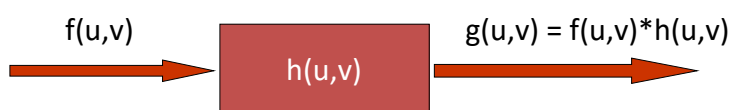


Transformadas espaciales de la imagen

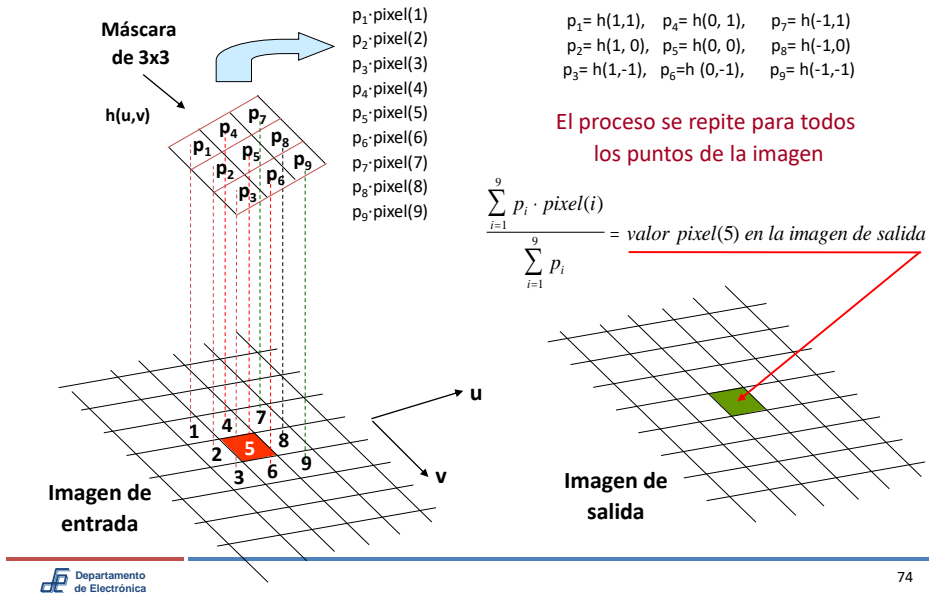
Convolución espacial



$$g(u,v) = h(u,v) * f(u,v) = \sum_i \sum_j f(i,j) h(u-i, v-j)$$

- ❑ La **respuesta al impulso** $h(u,v)$, se suele aproximar por funciones reducidas (3x3 componentes, frecuentemente).
- ❑ Estas funciones reducidas se suelen denominar “**máscaras**”.
- ❑ El **valor** que toma cada una de las componentes de la máscara, depende de la **función** a realizar (filtro paso bajo, filtro paso alto, etc.).
- ❑ En la figura se muestra una máscara de 3x3 con valores: $h(-1,-1)$, $h(0,-1)$, $h(1,-1)$, $h(-1,0)$, $h(0,0)$, $h(1,0)$, $h(-1,1)$, $h(0,1)$, $h(1,1)$.
- ❑ **Dimensiones** máscaras: números impares (lo que hace que exista un píxel **central**).
- ❑ **Tamaños típicos** de máscaras: 3x3, 5x5, 7x7, 9x9, 11x11.

			→ u
	$h(1,1)$	$h(0,1)$	$h(-1,1)$
	$h(1,0)$	$h(0,0)$	$h(-1,0)$
↓ v	$h(1,-1)$	$h(0,-1)$	$h(-1,-1)$



- Tamaño de imagen = $M \times N$
- Tamaño de máscara = $m \times n$
- Tamaño de la convolución = $[M - m + 1] \times [N - n + 1]$

$$\begin{array}{ccc}
 & \xrightarrow{u} & \\
 \begin{array}{c} \downarrow v \\
 \begin{array}{|c|c|c|}
 \hline
 h(1,1) & h(0,1) & h(-1,1) \\
 \hline
 h(1,0) & h(0,0) & h(-1,0) \\
 \hline
 h(1,-1) & h(0,-1) & h(-1,-1) \\
 \hline
 \end{array}
 \end{array}
 & \rightarrow & S_{m \times n} = \sum_{i=1}^m \sum_{j=1}^n h(i,j)
 \end{array}$$

$$g(u,v) = \frac{1}{S_{m \times n}} \sum_{i=-1}^1 \sum_{j=-1}^1 [f(i,j) \times h(u-i, v-j)] = f(u,v) * h(u,v)$$

$$h(u,v) = \begin{pmatrix} 1/9 & 1/9 & 1/9 \\ 1/9 & 1/9 & 1/9 \\ 1/9 & 1/9 & 1/9 \end{pmatrix} = \frac{1}{9} \begin{pmatrix} 1 & 1 & 1 \\ 1 & 1 & 1 \\ 1 & 1 & 1 \end{pmatrix}$$

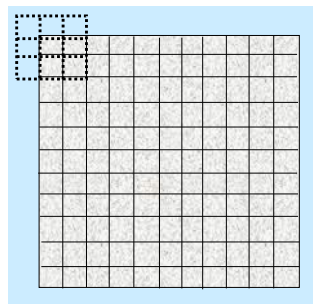
$$g(u,v) = h(u,v) * f(u,v) = \frac{1}{S_{m \times n}} \sum_i \sum_j f(i,j) h(u-i, v-j)$$

$f(u,v)$ $g(u,v)$



❑ ¿Qué sucede con los puntos de borde de la imagen? Hay varias soluciones:

1. Pasar la máscara por todos los píxeles de la imagen, **excepto por los de los bordes**. Esto hace que la **imagen de salida sea de menor tamaño**: Si el tamaño de imagen original es $M \times N$ y el tamaño de la máscara es $n \times n$, el tamaño de la imagen de salida es: $[M-(n-1)] \times [N-(n-1)]$.
2. **Añadiendo filas y columnas** en los bordes de la imagen con píxeles del **mismo valor** de intensidad que los de las filas y columnas de borde. Si la máscara es de $n \times n$ el número de filas y columnas a añadir será $(n-1)$.
3. **Rellenar con ceros** las filas y columnas fuera de la imagen.

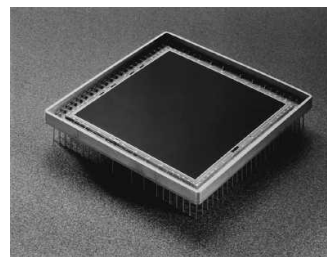


❑ La solución más frecuente es la 1.

Ruido

Ruido *Origen*

- ☐ Fuente de ruido:
 - ☐ Sensor CCD.
 - ☐ Fluctuación de la señal en el detector.
 - ☐ Causada por energía térmica.
 - ☐ Peor en los sensores de infrarrojos.
 - ☐ Electrónica.
 - ☐ Transmisión.
 - ☐ Polvo, arañazos en la óptica.
 - ☐ Aberraciones ópticas de las lentes...



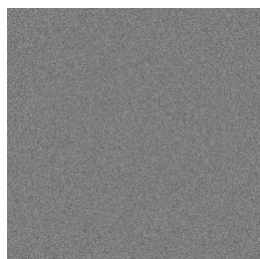
- ☐ **Ruido gaussiano** produce pequeñas variaciones en la imagen. Tiene su origen en diferencias de ganancia del **sensor**, ruido de digitalización, perturbaciones en la transmisión, etc.
- ☐ **Ruido impulsional**: El ruido tiene un gran efecto sobre los píxeles (el ruido impone el valor del píxel). Se presenta, por ejemplo, cuando se trabaja con objetos a **altas temperaturas** (problemas con infrarrojos).
- ☐ **Ruido frecuencial**: La imagen es la suma de la imagen ideal y otra señal, la **interferencia**.
- ☐ **Ruido multiplicativo**: La imagen obtenida es fruto de la **multiplicación** de dos señales.

- ☐ ¿Cómo se puede reducir el ruido?
 - ☐ Promediando imágenes
 - ☐ Realizando operaciones sobre el entorno de cada píxel
 - ☐ Filtros lineales (paso bajo, paso alto)
 - ☐ Filtros no lineales (mediana, Gaussiano)
 - ☐ Filtros en el dominio de la frecuencia (TDF)



imagen

+



ruido

=



imagen con ruido

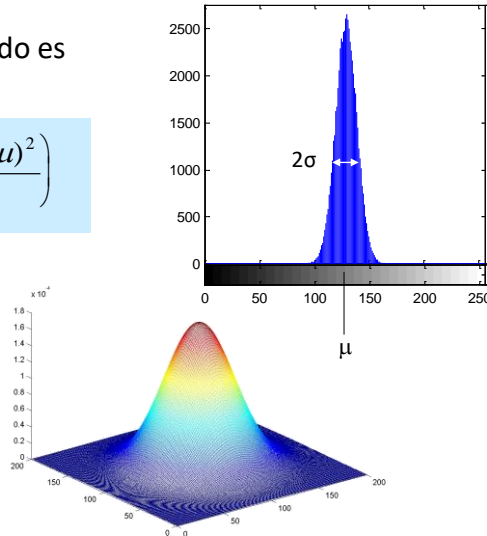
- La distribución típica de ruido es Gaussiana

$$\eta(x) = \frac{1}{2\pi\sigma^2} \exp\left(-\frac{1}{2} \frac{(x - \mu)^2}{\sigma^2}\right)$$

Con $\mu=0$

Desviación típica: σ

- Gaussiana bidimensional



- Considerando una **imagen ruidosa** $f(u,v)$, está se puede expresar como:

$$f(u,v) = f_{\text{sin_ruido}}(u,v) + n(u,v)$$

siendo $n(u,v)$ el **ruido: incorrelado, gaussiano, de media cero y varianza σ_n^2** .

- La **media** de varias imágenes, captadas en las **mismas condiciones**:

$$g(u,v) = \bar{f}(u,v) = \frac{1}{K} \sum_{i=1}^K f_i(u,v)$$

- La **varianza** de los píxeles (respecto a su valor ideal) en la imagen resultante $g(u,v)$ viene dada por :

$$\sigma_g^2(u,v) = \frac{1}{K} \sigma_n^2(u,v)$$

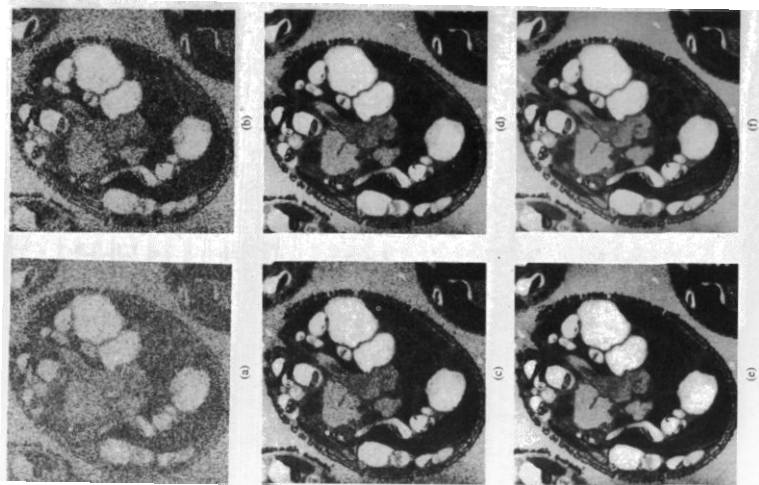


Figura 4.18. Ejemplo de reducción de ruido por promediado: (a) una imagen típica con ruido; (b)-(f) resultados de promediar 2, 8, 16, 32 y 128 imágenes con ruido.

$$h(u,v) = \begin{pmatrix} 1/9 & 1/9 & 1/9 \\ 1/9 & 1/9 & 1/9 \\ 1/9 & 1/9 & 1/9 \end{pmatrix} = \frac{1}{9} \begin{pmatrix} 1 & 1 & 1 \\ 1 & 1 & 1 \\ 1 & 1 & 1 \end{pmatrix}$$

$$\begin{matrix} \text{f(u,v)} & \xrightarrow{\quad} & g(u,v) = h(u,v) * f(u,v) = \frac{1}{S_{max}} \sum_i \sum_j f(i,j) h(u-i, v-j) & \xrightarrow{\quad} & g(u,v) \end{matrix}$$



- La reducción de ruido puede conllevar la desaparición de detalles finos en la imagen

Imagen original



Imagen con reducción de ruido



- **Unidimensional** ($N \times 1$). Mediana: valor central de la ordenación de menor a mayor.

menor $\xrightarrow{\text{N impar}}$ mayor

x_1	x_2	x_3	$x_{(N-1)/2}$	x_{N-2}	x_{N-1}	x_N
-------	-------	-------	-------	---------------	-----	-------	-----------	-----------	-------



Mediana

- **Bidimensional** ($N \times N$)

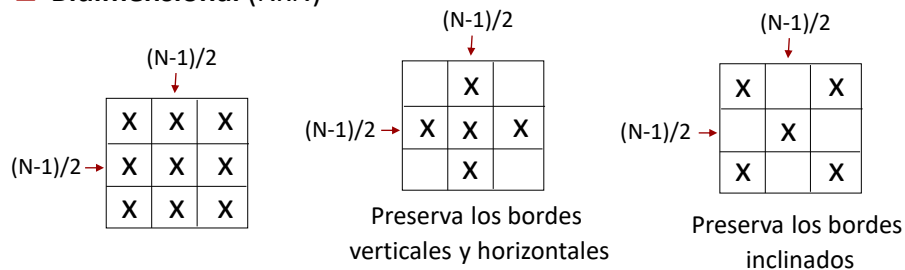




Figura 4.23. (a) Imagen original; (b) imagen corrompida por ruido en forma de impulsos; (c) resultado del promedio en un entorno 5×5 ; (d) resultado producido por un filtro de mediana de tamaño 5×5 . (Cortesía de Martin Connor, Texas Instruments Inc., Lewisville, Tex.)

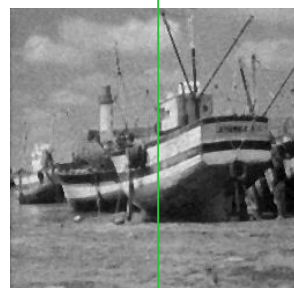
Original



Filtro paso bajo

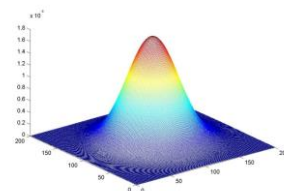


Mediana



- Filtro Gaussiano:

$$G(u, v) = \frac{1}{\sqrt{2\pi}\sigma} \exp\left(-\frac{(u^2 + v^2)}{2\sigma^2}\right)$$

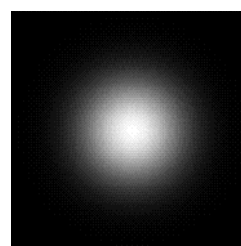
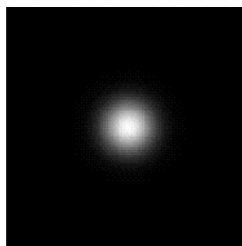
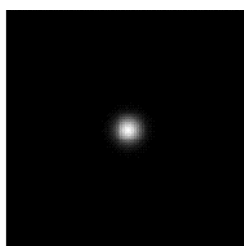
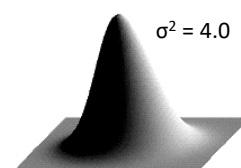
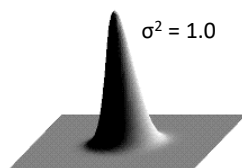
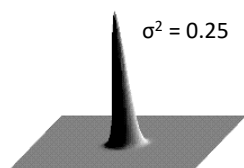


- Fijado un valor de σ^2 , la función $G(u, v)$ se puede aproximar por una máscara, cuyas dimensiones dependen del valor de σ^2 :

$G(-1,-1)$	$G(0,-1)$	$G(1,-1)$
$G(-1,0)$	$G(0,0)$	$G(1,0)$
$G(-1,1)$	$G(0,1)$	$G(1,1)$

- Se van dando pares de valores a u y v .
- El tamaño de la máscara se trunca cuando los valores de $G(u, v)$ sean despreciables frente a los otros.
- Los valores de $G(u, v)$ se pueden escalar (multiplicar por una constante) y redondear al entero más próximo.

$$G(u, v) = \frac{1}{\sqrt{2\pi}\sigma} \exp\left(-\frac{(u^2 + v^2)}{2\sigma^2}\right) = \frac{1}{\sqrt{2\pi}\sigma} \exp\left(-\frac{u^2}{2\sigma^2}\right) \cdot \exp\left(-\frac{v^2}{2\sigma^2}\right)$$



$\sigma = 0.391$

1	4	1
4	12	4
1	4	1

$\sigma = 0.625$

1	2	3	2	1
2	7	11	7	2
3	11	17	11	3
2	7	11	7	2
1	2	3	2	1



Máscara Gaussiana
 7x7



Máscara Gaussiana
 15x15